

الکترودهای صفحه چاپی اصلاح شده برای تعیین همزمان دوپامین و اوریک اسید در نمونه های سرم و ادرار

سید ضیا محمدی*⁺، الناز ریاحی پور

گروه شیمی، دانشگاه پیام نور، تهران، ایران

چکیده: فناوری چاپ روی صفحه به طور گسترده ای به عنوان ابزاری کارآمد برای تجزیه های الکتروشیمیایی نمونه های زیست محیطی، کیلینیکی و مواد غذایی مورد استفاده قرار می گیرد. در کار حاضر، یک روش ساده و کم هزینه برای تعیین همزمان دوپامین و اوریک اسید با استفاده از تثبیت نانوذره های هسته پوسته مغناطیسی منگنز فریت روی سطح الکترودهای صفحه چاپی گزارش شده است. همچنین، سنجش الکتروتنجیزه ای دوپامین در سطح الکترودهای اصلاح شده مورد بررسی قرار گرفته است. پاسخ الکترودهای اصلاح شده در بازه ی غلظت ۱/۰ تا ۲۷۵/۰ میکرومولار خطی بود و حد تشخیص ۰/۲ میکرومولار به دست آمد. روش پیشنهادی به طور موفقیت آمیزی برای اندازه گیری دوپامین و اوریک اسید در نمونه های سرم خون و ادرار انسان مورد استفاده قرار گرفت.

واژه های کلیدی: دوپامین؛ اوریک اسید؛ نانوذره های هسته پوسته مغناطیسی منگنز فریت؛ الکترودهای صفحه چاپی؛ ولتامتری.

KEYWORDS: Dopamine; Uric acid, Magnetic core-shell nanoparticles; Screen-printed electrode; Voltammetry.

مقدمه

دوپامین (DA) یک انتقال دهنده مهم عصبی است و متعلق به گروه کاتکول آمین ها بوده و نقش مهمی در سامانه اعصاب مرکزی، سامانه های کلیوی، هورمونی و قلب و شری آن ها بازی می کند [۱، ۲]. اختلال در سامانه دوپامینرژیک در سامانه عصبی مرکزی با اختلال های عصبی مانند اسکیزوفرنی و بیماری پارکینسون ارتباط دارد [۳]. بنابراین، DA در پژوهش های زیست پزشکی مورد توجه جدی قرار گرفته و نیاز جدی برای ایجاد روش های حساس، انتخابی و قابل اعتماد برای اندازه گیری مستقیم DA وجود دارد. اوریک اسید (UA) فراورده ای اولیه متابولیسم پورین است. سطح غیر طبیعی UA از نشانه های بروز بیماری هایی مانند نقرس،

هیپرسیونیسم و سندرم Lesch-Nyhan می باشد. بنابراین سنجش غلظت UA در مایع های زیستی می تواند به عنوان یک هشدار اولیه برای ابتلا به این بیماری ها مورد استفاده قرار گیرد. دوپامین و اوریک اسید به طور معمول با هم در نمونه های زیستی وجود دارند، بنابراین ساخت یک حسگر حساس برای تعیین همزمان دوپامین و اوریک اسید در کاربرد های تجزیه ای و پژوهش های تشخیصی بسیار دلخواه است. در سال های اخیر، روش های گوناگونی برای اندازه گیری همزمان این داروها گزارش شده است مانند روش های طیف بینی، کروماتوگرافی مایع با کارایی بالا، رزونانس پلاسما سطحی، الکتروفورز موثنه ای و روش های

*عهده دار مکاتبات

+E-mail: szmohammadi@yahoo.com

بخش تجربی

دستگاه های مورد استفاده

اندازه گیری های الکتروشیمیایی با استفاده از یک دستگاه پتانسیواستات - گالوانواستات Autolab model 302N Eco Chemi و با استفاده از یک سل سه الکترودی ساخت شرکت B.V.A. برای تنظیم pH از دستگاه pH متر مدل 827 ساخت شرکت متروم کشور سوئیس استفاده شد. از دستگاه حمام فراسوت ساخت شرکت فالک ایتالیا، مدل LBS2 برای حل کردن نمونه ها استفاده شد. از الکترودهای صفحه چایی گرافیتی اصلاح شده و اصلاح نشده به عنوان الکترودی کار استفاده شد و از شرکت DropSens اسپانیا تهیه شد. از ترازوی تجزیه ای ساخت کارخانه متلر سوئیس مدل AE-160 با دقت یک ده هزارم گرم برای توزین مواد استفاده شد. از یک آون آزمایشگاهی ساخت شرکت فن آزماگستر ایران برای خشک کردن مواد و از یک کوره الکتریکی ساخت شرکت شیماز ایران برای کلسینه کردن مواد استفاده شد. تصویر میکروسکوپ الکترونی پویشی با یک دستگاه Cam Scan مدل MV2300 ساخت کشور انگلستان گرفته شد.

مواد شیمیایی مورد استفاده

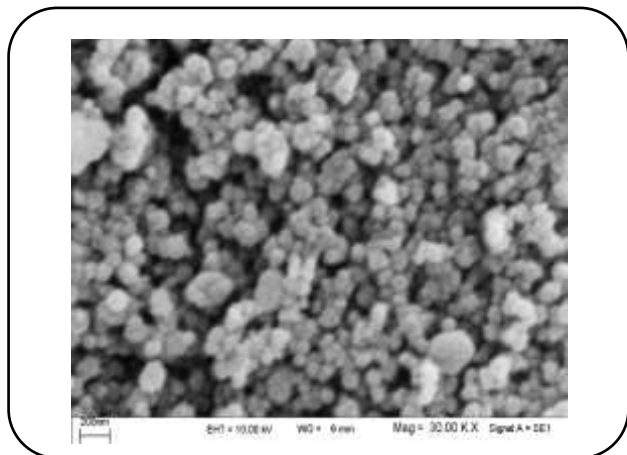
دوپامین، اوریک اسید، نیتریک اسید، سدیم دی هیدروژن فسفات، دی پتاسیم هیدروژن فسفات و سدیم هیدروکسید از شرکت مرک آلمان تهیه شدند.

نانوذره های هسته - پوسته منگنز فریت اصلاح شده با (۳-آمینوپروپیل) تری متوکسی سیلان مطابق با روش کار آورده شده در مقاله پی شین سنتز شد [۲۰]. به طور خلاصه، ۴/۹ گرم منگنز نیترات و ۱۳/۴ گرم آهن (III) نیترات در ۵۰ میلی لیتر آب مقطر حل شده و به مخلوطی از ۴/۲ گرم سدیم هیدرواکسید و ۳ میلی لیتر اتیلن دی آمین در ۷۰ میلی لیتر آب مقطر افزوده می شود. این محلول برای مدت یک ساعت در دمای ۹۰ °C گرما داده شده تا واکنش کامل شود. سپس مخلوط با یک کاغذ صافی، صاف شده و با عبور ۲۰ میلی لیتر آب مقطر شستشو داده شده و به مدت ۴ ساعت در درون آون آزمایشگاهی در دمای ۸۰ °C خشک شد پودر به دست آمده درون یک کوره قرار گرفته و با سرعت ۱۰ درجه سلسیوس بر دقیقه به دمای ۵۰۰ درجه سلسیوس رسانده شد و به مدت یک ساعت در این دما کلسینه شد. در ادامه کار، ۳۰ میلی لیتر آب مقطر، ۳۰ میلی لیتر اتانول، ۴ میلی لیتر ۳-آمینوپروپیل تری متوکسی سیلان

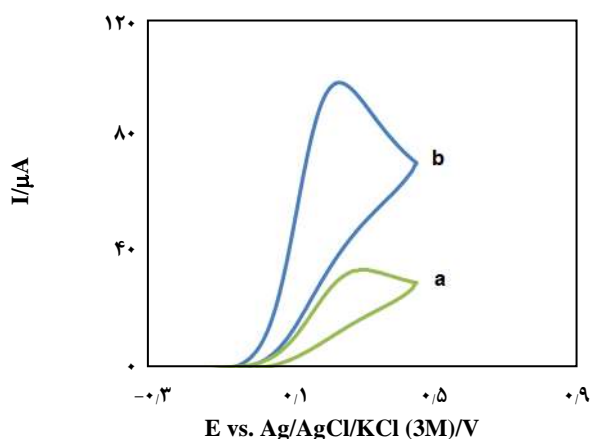
الکتروشیمیایی [۱۰-۴]. از میان این روش ها، روش الکتروشیمیایی به واسطه ویژگی هایی همچون اندازه گیری سریع، کم هزینه بودن، آسانی کار و بازدهی بالا توجه بیش تری را به خود جلب کرده است [۱۱]. الکترودهای صفحه چایی کربنی (SPEs) یکبار مصرف در بسیاری از حوزه ها همچون زیست پزشکی، داروسازی، صنعت و محیط زیست مورد استفاده قرار گرفته است [۱۲]. SPE ها به واسطه هزینه پایین آنها، آسانی استفاده از آنها و آسانی تولید تکرارپذیر آنها می توانند به عنوان حسگرهای یکبار مصرف استفاده شوند. به تازگی، استفاده از SPEs به ویژه در کشورهای جهان سوم مرسوم شده است زیرا در آنجا دستیابی به حسگرهای ارزان قیمت، قابل اعتماد و قابل حمل برای مدیریت بهداشت و کنترل محیط زیست امری ضروری است. با این حال، قابلیت انتخاب پذیری و حساسیت مناسب هنوز یک چالش عمده برای توسعه حسگرهای الکتروشیمیایی است. در سال های اخیر، نانوفناوری به طور موفقیت آمیزی برای تهیه مواد نانومقیاس با ویژگی های جدید گوناگون استفاده شده است و کاربردهای گوناگونی در حوزه های پژوهشی گوناگون دارد [۱۳، ۱۴]. برای نمونه، ویژگی های حسگرها و حسگرهای زیستی می تواند با استفاده از مواد نانومقیاس بهبود داده شود [۱۵-۱۹]. اصلاح الکترودها یک روش معمول برای بهبود کارایی آنها برای کاربرد در حوزه حسگرها می باشد.

نانوذره های هسته - پوسته به دلیل ویژگی های دوگانه ساختاری که از خود نشان داده اند، توجه بسیاری را به خود جلب نموده اند. مدت زیادی است که روش هم رسوبی شیمیایی برای تهیه مواد مغناطیسی در اندازه های نانومتری مورد استفاده قرار می گیرد. در این روش می توان بر روی اندازه ی ذره ها و همگن بودن مخلوط کنترل داشت. نانوذره های هسته-پوسته همان گونه که از نام آنها مشخص است از یک هسته (ماده ی مرکزی) و یک پوسته (پوشاننده ی ماده) تشکیل شده است، با این کار ویژگی های خوب هر دو ماده را در یک ماده با هم داریم. افزون بر آن امکان اصلاح سطح پوسته به راحتی وجود دارد و از نظر اقتصادی نیز دارای اهمیت است.

در کار پژوهشی حاضر، تلاش شده است تا نانوذره های مغناطیسی هسته-پوسته منگنز فریت سنتز شده و سپس از آنها برای اصلاح سطح الکترودی صفحه چایی استفاده شود و الکترودی به دست آمده (MCNP/SPE) برای تعیین همزمان دوپامین و اوریک اسید در نمونه ی دارویی و ادراک انسانی به کار رود.



شکل ۱- تصویر میکروسکوپ الکترونی پوششی نانوذره‌های هسته پوسته مغناطیسی منگنز فریت



شکل ۲- ولتاموگرام های چرخه ای الکترودهای اصلاح نشده در محلول بافر فسفات ۰/۱ M (pH=۷/۰) (a) و الکترودهای اصلاح شده در محلول بافر فسفات ۰/۱ M (pH=۷/۰) (b). در هر دو حالت محلول دارای ۱۵۰/۰ μM دوپامین و سرعت روبش ۵۰ میلی ولت بر ثانیه بود.

اثر سرعت روبش پتانسیل در رفتار الکتروشیمیایی دوپامین در سطح MCNP/SPE

برای بررسی فرایند اکسایش الکتروشیمیایی دوپامین در سطح الکترودهای اصلاح شده از روش ولتامتری روبش خطی استفاده شد. شکل ۳ ولتاموگرام های روبش خطی الکترودهای اصلاح شده در محلول بافر فسفات ۰/۱ مولار (pH=۷/۰) که نسبت به دوپامین ۱۵۰/۰ μM می باشد را در سرعت های روبش گوناگون نشان می دهد. همان گونه که دیده می شود، با افزایش سرعت روبش، پتانسیل پیک اکسایش دوپامین به سمت پتانسیل های مثبت تر جابه جا می شود که نشان دهنده ایجاد محدودیت سینتیکی

و ۴ میلی لیتر تریتون ۱۱۴-x با یکدیگر مخلوط شده و ۱/۸ گرم نانوذره های منگنز فریت به آن افزوده شد و برای مدت ۲۴ ساعت در دمای محیط هم زده شد. در پایان رسوب با استفاده از یک مگنت جمع آوری شده و با آب بدون یون شسته و خشک شد. شکل ۱ تصویر میکروسکوپ الکترونی پوششی نانوذره های هسته - پوسته منگنز فریت اصلاح شده را نشان می دهد.

تهیه نمونه های حقیقی

تنها مرحله آماده سازی نمونه سرم، رقیق کردن ده برابری آن با محلول بافر فسفات ۰/۱ مولار (pH=۷/۰) بود. برای اندازه گیری، حجم مناسبی از نمونه سرم رقیق شده به سل الکتروشیمیایی منتقل شد.

نمونه ادرار بلافاصله بعد از جمع آوری در یخچال نگه داری شد. ۲۰ میلی لیتر از نمونه به مدت ۱۰ دقیقه با سرعت ۳۰۰۰ دور بر دقیقه سانتریفیوژ شده و محلول روئی با استفاده از یک صافی ۰/۴۵ میکرومتر صاف شد. برای اندازه گیری، حجم های گوناگونی از آن به درون بالن های حجمی ۵۰ میلی لیتری منتقل و با محلول بافر فسفات ۰/۱ مولار (pH=۷/۰) به حجم رسانده شد.

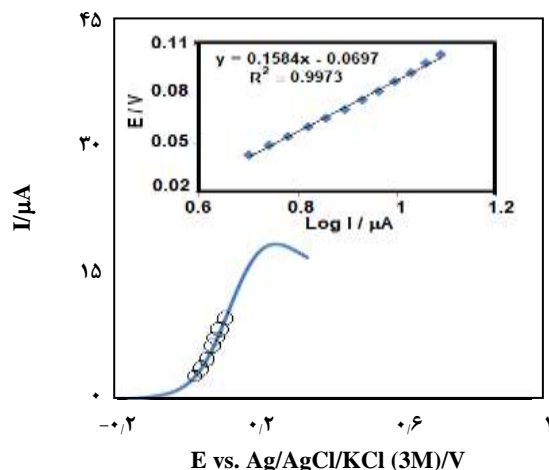
تهیه الکترودهای صفحه چایی گرافیتی اصلاح شده

۱ میلی گرم نانوذره های هسته - پوسته منگنز فریت به یک میکروتیوب دارای ۱ میلی لیتر آب مقطر افزوده شد و به مدت ۱۰ دقیقه درون حمام فراصوت گذاشته شد تا نانوذره های به صورت یکنواخت پخش شوند. در ادامه ۵ میکرولیتر از محلول داخل میکروتیوب روی قسمت الکترودهای کار الکترودهای صفحه چایی چکانده و به مدت ۲۰ دقیقه درنگ شد تا الکترودهای خشک شود.

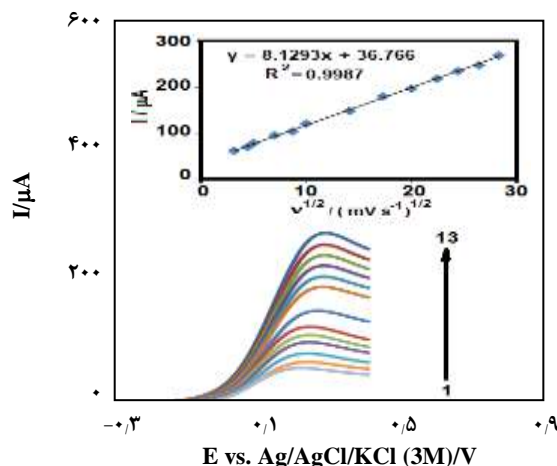
نتیجه ها و بحث

اکسایش الکتروکاتالیستی دوپامین در سطح MCNP/SPE

شکل ۲ ولتاموگرام های چرخه ای الکترودهای اصلاح شده (b) و الکترودهای اصلاح نشده (a) در محلول بافر فسفات ۰/۱ مولار (pH=۷/۰) و در حضور ۱۵۰/۰ میکرومولار دوپامین را نشان می دهد. همان گونه که دیده می شود تثبیت نانوذره های هسته - پوسته منگنز فریت روی سطح الکترودهای صفحه چایی باعث افزایش حساسیت اندازه گیری و همچنین کاهش اضافه ولتاژ اکسایش دوپامین می شود.



شکل ۴- ولتاموگرام های روبش خطی ۱۵۰/۰ میکرومولار دوپامین در محلول بافر فسفات ۰/۱ M (pH=۷/۰) در سرعت روبش ۵ mV s⁻¹. ضمیمه: تغییرهای پتانسیل در مقابل لگاریتم جریان (نمودار تافل).



شکل ۳- ولتاموگرام های روبش خطی ۱۵۰/۰ میکرومولار دوپامین در محلول بافر فسفات ۰/۱ M (pH=۷/۰) در سرعت های روبش گوناگون، اعداد ۱-۱۳ به ترتیب مربوط هستند به سرعت های روبش ۵، ۱۰، ۲۵، ۵۰، ۷۵، ۱۰۰، ۲۰۰، ۳۰۰، ۴۰۰، ۵۰۰، ۶۰۰، ۷۰۰ و ۸۰۰ mV s⁻¹. پیوست: تغییرهای جریان بر حسب جذر سرعت روبش پتانسیل.

کرونوآمپروگرام های به دست آمده نشان داد که با افزایش غلظت دوپامین، جریان کرونوآمپرومتری نیز افزایش یافته و نسبت به زمان روند کاهشی دارد که به خوبی نشان دهنده رفتار کاترلی در سطح الکتروود است. ضمیمه ی a شکل ۵ تغییرهای I-t^{1/2} را نشان می دهد. این تغییرها خطی بوده که نشان دهنده تحت کنترل بودن فرایند توسط نفوذ می باشد. در ضمیمه ی b شکل ۵ تغییرها شیب خطوط I-t^{1/2} بر حسب غلظت دوپامین رسم شده است. با استفاده از شیب نمودار به دست آمده و معادله ی کاترل، مقدار میانگین ضریب نفوذ دوپامین، ۳/۰۴ × ۱۰^{-۶} cm²s⁻¹ به دست آمد.

بررسی ارقام شایستگی روش

از آنجایی که روش ولتامتری پالس تفاضلی می تواند با حساسیت بیش تری غلظت آنالیت را اندازه گیری نماید، برای بررسی گستره خطی روش از این روش استفاده شد. برای مشخص کردن گستره خطی روش، تغییرهای جریان الکتروود برای غلظت های گوناگون دوپامین اندازه گیری شد. تجزیه و تحلیل نتیجه های به دست آمده از ولتاموگرام های پالس تفاضلی (شکل ۶) (پتانسیل اولیه = ۰/۰۵ - ولت، پتانسیل نهایی = ۰/۳۸ ولت، پله پتانسیل = ۰/۰۱ ولت، دامنه پالس = ۰/۲۵ ولت) نشان داد که تغییرهای جریان ولتاموگرام بر حسب غلظت دوپامین در بازه ی غلظتی ۱/۰-۲۷۵/۰ میکرومولار خطی می باشد. حد تشخیص بر اساس

در واکنش الکتروشیمیایی می باشد. تغییرهای جریان دماغه آندی مربوط به اکسایش دوپامین در پیوست شکل ۳ دی ده می شود که به طور خطی متناسب با ریشه ی دوم سرعت روبش پتانسیل (v^{1/2})، افزایش می یابد. بنابراین براساس معادله ی راندلز - سویک می توان نتیجه گرفت که فرایند اکسایش الکتروکاتالیستی دوپامین در سطح الکتروود صفحه چاپی اصلاح شده، در کنترل انتقال جرم بوده و گونه برای اکسایش به سمت الکتروود نفوذ می کند [۲۱].

با استفاده از داده های قسمت بالارونده منحنی جریان ولتاژ ثبت شده در سرعت روبش ۵ میلی ولت بر ثانیه (شکل ۳) نمودار تافل ترسیم شد (شکل ۴). قسمت بالا رونده شکل ۴ که با دایره مشخص شده است به عنوان ناحیه تافل شناخته شده و تحت تأثیر سینتیک انتقال الکترون بین ماده مورد نظر و سطح الکتروود می باشد. شیب تافل به دست آمده (۰/۱۵۸۴) بخوبی با مبادله یک الکترون در مرحله تعیین کننده سرعت در توافق بوده [۲۱] و ضریب انتقال بار برای دوپامین ۰/۶۳ محاسبه شد.

اندازه گیری های کرونوآمپرومتری

اکسایش الکتروکاتالیزی دوپامین در سطح الکتروود اصلاح شده با روش کرونوآمپرومتری نیز مطالعه شد. برای انجام این مطالعه، غلظت های گوناگون دوپامین در سل الکتروشیمیایی ریخته و با پله پتانسیل ۳۵۰ mV کرونوآمپروگرام ها رسم شدند (شکل ۵).

سه برابر انحراف استاندارد محلول شاهد، 0.2 میکرومولار محاسبه شد. انحراف استاندارد نسبی برای هفت اندازه گیری متوالی $50/0$ میکرومولار دوپامین $3/1$ درصد به دست آمد. ارقام شایستگی روش ارایه شده در این مقاله با سایر روش‌های گزارش شده در مقاله‌ها مقایسه و در جدول ۱ آورده شده است [۲۴-۱،۲۲]. همان‌گونه که دیده می‌شود کار حاضر در مقایسه با سایر کارهای گزارش شده در جدول ۱، حد تشخیص پایین تری دارد.

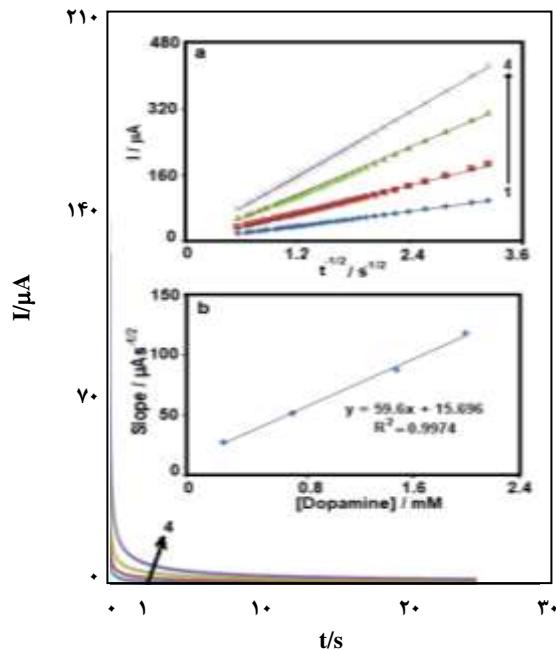
تعیین همزمان دوپامین و اوریک اسید

یکی از هدف‌های این مطالعه اندازه گیری‌های همزمان دوپامین و اوریک اسید بود. برای این منظور، محلول‌هایی از دوپامین و اوریک اسید با غلظت‌های گوناگون تهیه و به سل الکتروشیمی منتقل شد و تغییرهای جریان الکتروود برای غلظت‌های گوناگون اندازه گیری شد. در نتیجه، دو پیک آندی در پتانسیل‌های 230 و 390 میلی ولت به ترتیب مربوط به اکسایش دوپامین و اوریک اسید به دست آمد که نشان‌دهنده این است که اندازه گیری همزمان دوپامین و اوریک اسید روی سطح الکتروود MCNP/SPE ممکن است (شکل ۷).

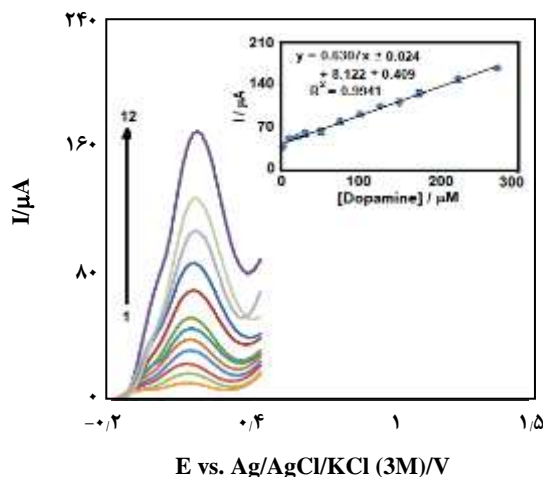
تجزیه و تحلیل نتیجه‌های به دست آمده از ولتاموگرام‌های پالس تفاضلی (شکل ۷) نشان داد که تغییرهای جریان ولتاموگرام‌ها بر حسب غلظت دوپامین و اوریک اسید به ترتیب در بازه‌ی غلظتی $10/0-250/0$ و $5/0-175/0$ میکرومولار خطی می‌باشد. در حالت اندازه گیری همزمان دو ترکیب حساسیت برای اندازه گیری دوپامین $6256 \mu\text{A}\mu\text{mol/L}$ به دست آمد در حالی که حساسیت برای اندازه گیری دوپامین بدون اوریک اسید $6307 \mu\text{A}\mu\text{mol/L}$ به دست آمد. این نتیجه‌ها نشان می‌دهد که اندازه گیری‌های مستقل یا همزمان دوپامین و اوریک اسید امکان پذیر است.

تجزیه نمونه های حقیقی

برای ارزیابی الکتروود ساخته شده برای سنجش همزمان دوپامین و اوریک اسید در نمونه های حقیقی، از الکتروود مورد نظر برای اندازه گیری دوپامین و اوریک اسید در نمونه های سرم خون و ادرار استفاده شد. برای انجام این ارزیابی حجم‌های مشخصی از نمونه‌های حقیقی به داخل سل الکتروشیمیایی منتقل و اندازه‌گیری‌ها انجام شد. از آنجاییکه در نمونه سرم دوپامین و اوریک اسید وجود نداشت به نمونه سرم مقدرهای گوناگونی از دوپامین و اوریک اسید استاندارد افزوده شده و سپس درصد بازیابی دوپامین و اوریک اسید



شکل ۵- کروئوآمپروگرام‌های متفاوت‌های غلظت‌های دوپامین در محلول بافر فسفات 0.1 M ($\text{pH}=7.0$) با پله پتانسیل 350 میلی ولت. عدد‌های ۱ تا ۴ به ترتیب به غلظت‌های 0.3 ، 0.7 ، 1.5 و 2.0 میلی مولار مربوط هستند. پیوست‌ها (a) تغییرهای $I-t^{1/2}$ به دست آمده از کروئوآمپروگرام‌های ۱-۴ و (b) شیب خطوط $I-t^{1/2}$ بر حسب غلظت دوپامین.



شکل ۶- ولتاموگرام‌های پالس تفاضلی غلظت‌های گوناگون دوپامین در محلول بافر فسفات 0.1 M ($\text{pH}=7.0$)، شماره ۱ تا ۱۲ به ترتیب مربوط به غلظت‌های 0.1 ، 0.3 ، 0.5 ، 0.75 ، 1.0 ، 2.0 ، 3.0 ، 5.0 ، 7.5 ، 10.0 ، 225 ، 275 میکرومولار دوپامین در محلول بافر فسفات 0.1 M ($\text{pH}=7.0$) می‌باشد. پیوست: تغییرهای جریان بر حسب غلظت دوپامین در بازه‌ی غلظتی $10/0-275/0$ میکرومولار.

جدول ۱- مقایسه ارقام شایستگی روش این پژوهش با سایر روش‌های گزارش شده در مقاله‌ها برای اندازه‌گیری دوپامین.

الکتروود	اصلاحگر	حد تشخیص (μM)	گستره خطی (μM)	مرجع
الکتروود خمیر کربنی	نانولوله کربنی چند دیواره	۱/۰	۳۰/۰-۸۰۰/۰	[۱]
الکتروود خمیر کربنی	۵- آمینو- ۳' و ۴'- دی متیل- بی فنیل- ۲- ال	۰/۵۷	۱/۲-۹۰۰/۰	[۲۳]
الکتروود کربن شیشه‌ای	۲- آمینو- ۱ و ۳- تیا دی آزلول	۰/۳۳	۵/۰-۵۰/۰	[۲۴]
الکتروود خمیر کربنی	نانوذره‌های زیرکونیم اکسید و مایع یونی	۰/۵	۱/۰-۹۰۰/۰	[۲۵]
الکتروود صفحه چایی	نانوذره‌های هسته پوسته مغناطیسی منگنز- فریت	۰/۲	۱/۰-۲۷۵/۰	کار حاضر

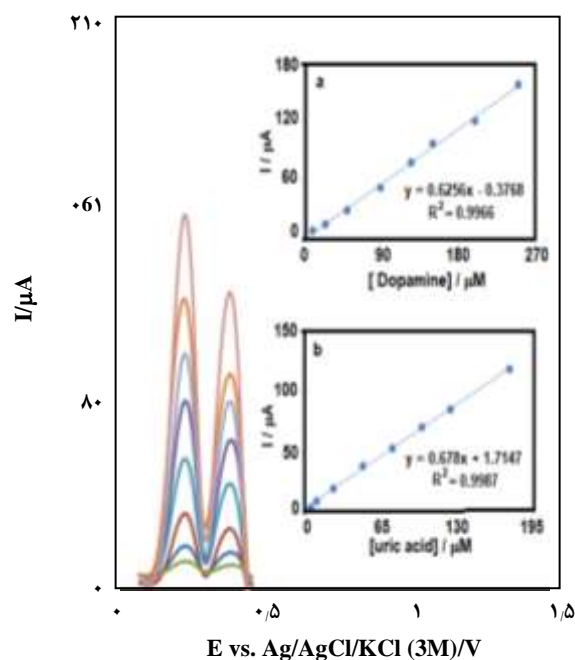
با استفاده از روش افزایش استاندارد مورد اندازه‌گیری قرار گرفت. همان‌گونه که از نتیجه‌ها ارایه شده در جدول ۲ مشخص است، دوپامین و اوریک اسید با درصد‌های بازیابی قابل‌پذیری اندازه‌گیری شدند که بیانگر کارایی بالای الکتروود ساخته شده در اندازه‌گیری دوپامین و اوریک اسید در نمونه‌های حقیقی می‌باشد. هر اندازه‌گیری پنج بار شد و درصد انحراف استاندارد نسبی محاسبه و در جدول ۲ ارایه شده است.

نتیجه‌گیری

نتیجه‌های به دست آمده از این کار نشان داد که با به‌کاربردن نانوذره‌های هسته پوسته مغناطیسی منگنز فریت به عنوان اصلاح‌کننده الکتروود صفحه چایی، یک حسگر جدید توسعه داده شد که با استفاده از آن می‌توان با حساسیت مناسب دوپامین و اوریک اسید را در نمونه‌های سرم خون و ادرار اندازه‌گیری کرد. روش ارایه شده در کار حاضر نوین، ساده، قابل‌حمل، ارزان و آسان برای ساخت و استفاده می‌باشد. به‌واسطه ویژگی‌های بی‌مانند نانوذره‌های هسته - پوسته مغناطیسی منگنز فریت، الکتروود اصلاح شده فعالیت الکتروشیمیایی چشمگیری نسبت به اکسایش دوپامین و اوریک اسید نشان داد. گستره دینامیکی خطی ۱/۰-۲۷۵/۰ میکرومولار و حد تشخیص ۰/۲ میکرومولار برای دوپامین به دست آمد. انحراف استاندارد نسبی هفت اندازه‌گیری متوالی غلظت ۵۰/۰ میکرومولار دوپامین ۳/۱ درصد به دست آمد.

قدردانی

نویسندگان از دانشگاه پیام نور به‌خاطر حمایت مادی و معنوی از این پژوهش کمال تشکر را دارد.



شکل ۷- ولتاموگرام های پالس تفاضلی غلظت‌های گوناگون از مخلوط اوریک اسید + دوپامین در محلول بافر فسفات ۰/۱ M (pH=۷/۰). غلظت‌ها به ترتیب از پایین به بالا عبارتند از: ۰، ۲۵/۰، ۵۰/۰، ۷۵/۰، ۱۰۰/۰، ۱۲۵/۰، ۱۵۰/۰، ۱۷۵/۰، ۲۰۰/۰ میکرومولار. پیوست a: تغییرهای جریان بر حسب غلظت دوپامین در بازه‌ی غلظتی ۰-۲۵۰/۰ میکرومولار، پیوست b: تغییرهای جریان بر حسب غلظت اوریک اسید در بازه‌ی غلظتی ۰-۱۷۵/۰ میکرومولار.

اندازه گرفته شد. همچنین، از آنجایی که در نمونه ادرار دوپامین وجود نداشت به نمونه ادرار مقدارهای گوناگونی از دوپامین استاندارد افزوده شده و سپس درصد بازیابی دوپامین اندازه گرفته شد. برای جلوگیری از مزاحمت بافت نمونه، مقدار دوپامین و اوریک اسید در نمونه‌ها

جدول ۲- کاربرد الکتروود اصلاح شده برای اندازه گیری دوپامین و اوریک اسید در نمونه های حقیقی (n=۵).

نمونه	غلظت افزوده شده (μM)		غلظت یافت شده (μM)		درصد بازیابی (%)		انحراف استاندارد (%)
	دوپامین	اوریک اسید	دوپامین	اوریک اسید	دوپامین	اوریک اسید	
سرم	۰/۰۰	۰/۰۰	یافت نشد	یافت نشد	---	---	اوریک اسید
	۱۰/۰۰	۱۰/۰۰	۹/۸۵	۱۰/۲۰	۹۸/۵	۱۰۲/۰	دوپامین
	۲۰/۰۰	۲۰/۰۰	۱۹/۵۴	۱۹/۶۵	۹۷/۷	۹۸/۲	اوریک اسید
	۳۰/۰۰	۳۰/۰۰	۳۰/۹۳	۲۸/۹۵	۱۰۳/۱	۹۶/۵	دوپامین
	۵۰/۰۰	۵۰/۰۰	۴۸/۴۰	۵۱/۷۲	۹۶/۸	۱۰۳/۴	اوریک اسید
ادار	۰/۰۰	۰/۰۰	یافت نشد	۹/۴۵	---	---	اوریک اسید
	۱۰/۰۰	۱۰/۰۰	۹/۷۲	۱۹/۸۰	۹۷/۲	۱۰۳/۵	دوپامین
	۲۰/۰۰	۲۰/۰۰	۲۰/۵۷	۲۹/۲۶	۱۰۲/۸	۹۹/۱	اوریک اسید
	۳۰/۰۰	۳۰/۰۰	۳۱/۰۷	۴۰/۱۹	۱۰۳/۶	۱۰۲/۵	دوپامین
	۵۰/۰۰	۵۰/۰۰	۴۸/۷۳	۵۹/۴۱	۹۷/۵	۹۹/۹	اوریک اسید

فهرست نمادها

SPEs الکتروودهای صفحه چاپی

MCNP/SPE الکتروود صفحه چاپی اصلاح شده

با نانوذره های مغناطیسی هسته - پوسته منگنز فریت

تاریخ دریافت: ۱۳۹۷/۶/۲۲؛ تاریخ پذیرش: ۱۳۹۷/۸/۲۸

DA

UA

SPE

دوپامین

اوریک اسید

الکتروود صفحه چاپی

مراجع

- [1] Mazloum-Ardakani M., Abolhasani M., Mirjalili B.-F., Sheikh-Mohseni M.A., Dehghani-Firouzabadi A., Khoshroo A., [Electrocatalysis of Dopamine in the Presence of Uric Acid and Folic Acid on Modified Carbon Nanotube Paste Electrode](#), *Chinese Journal of Catalysis*, **35**: 201–209 (2014).
- [2] Michael D.J., Wightman R.M., [Electrochemical Monitoring of Biogenic Amine Neurotransmission in Real-Time](#), *Journal of Pharmaceutical and Biomedical Analysis*, **19**: 33–46 (1999).
- [3] Peltola E., Heikkinen J.J., Sovanto K., Sainio S., Aarva A., Franssila S., Jokinen V., Laurila T., [SU-8 Based Pyrolytic Carbon for the Electrochemical Detection of Dopamine](#), *Journal of Materials Chemistry B*, **5**: 9033–9044 (2017).
- [4] Noroozifar M., Khorasani-Motlagh M., Akbari R., Parizi, M.B., [Simultaneous and Sensitive Determination of a Quaternary Mixture of AA, DA, UA and Trp Using a Modified GCE by Iron Ion-Doped Natrolite Zeolite-Multiwall Carbon Nanotube](#), *Biosensors and Bioelectronics*, **28**: 56–63 (2011).

- [5] Rohani Moghadam M., Dadfarnia S., Shabani A.M.H., Shahbazikhah P., [Chemometric-assisted Kinetic-Spectrophotometric Method for Simultaneous Determination of Ascorbic Acid, Uric Acid and Dopamine](#), *Analytical Biochemistry*, **410**: 289–295 (2011).
- [6] Ferry B., Gifu E.P., Sandu I., Denoroy L., Parrot S., [Analysis of Microdialysate Monoamines, Including Noradrenaline, Dopamine and Serotonin, Using Capillary Ultrahigh Performance Liquid Chromatography and Electrochemical Detection](#), *Journal of Chromatography B: Biomedical Sciences and Applications*, **951**: 52–57 (2014).
- [7] Kumbhat S., Dhesingh R.S., Kima S.J., Gobi K.V., Joshi V., Miura N., [Surface Plasmon Resonance Biosensor for Dopamine Using D3 Dopamine Receptor as a Biorecognition Molecule](#), *Biosensor and Bioelectronics*, **23**: 421–427 (2007).
- [8] Zhao M., Zhou M.F., Feng H., Cong X.X., Wang X.L., [Determination of Tryptophan, Glutathione, and Uric Acid in Human Whole Blood Extract by Capillary Electrophoresis with a One-Step Electrochemically Reduced Graphene Oxide Modified Microelectrode](#), *Chromatographia*, **79**: 911–918 (2016).
- [9] Chen R.W., Wang Y.Z., Liu Y., Li J.H., [Selective Electrochemical Detection of Dopamine Using Nitrogen-Doped Graphene/Manganese Monoxide Composites](#), *RSC Advances*, **5**: 85065–85072 (2015).
- [10] Tian X.Q., Cheng C.M., Yuan H.Y., Du J., Xiao D., Xie S.P., Choi M.M.F., [Simultaneous Determination of L-Ascorbic Acid, Dopamine and Uric Acid With Gold Nanoparticles–B-Cyclodextrin–Graphene-Modified Electrode by Square Wave Voltammetry](#), *Talanta*, **93**: 79–85 (2012).
- [11] Chen J., He P., Bai H., He S., Zhang T., Zhang X., Dong F., [Poly\(\$\beta\$ -cyclodextrin\)/Carbon Quantum Dots Modified Glassy Carbon Electrode: Preparation, Characterization and Simultaneous Electrochemical Determination of Dopamine, Uric Acid and Tryptophan](#), *Sensors and Actuators B: Chemical*, **252**: 9–16 (2017).
- [12] Khairy M., Mahmouda B.G., Banks C.E., [Simultaneous Determination of Codeine and Its Co-Formulated Drugs Acetaminophen and Caffeine by Utilising Cerium Oxide Nanoparticles Modified Screen-Printed Electrode](#), *Sensors and Actuators B: Chemical*, **259**: 142–154 (2018).
- [13] Mohammadi S.Z., Beitollahi H., Bani Asadi E., [Electrochemical Determination of Hydrazine Using a ZrO₂ Nanoparticles-Modified Carbon Paste Electrode](#), *Environmental Monitoring and Assessment*, **187**: 122–132 (2015).
- [14] Mohammadi S.Z., Beitollahi H., Jasemi M., Akbari A., [Nanomolar Determination of Methyl dopa in the Presence of Large Amounts of Hydrochlorothiazide Using a Carbon Paste Electrode Modified with Graphene Oxide Nanosheets and 3-\(4'-Amino-3'-hydroxy-biphenyl-4-yl\)acrylic Acid](#), *Electroanalysis*, **27**: 2421–2430 (2015).
- [15] Bahmanpour H., [Synthesis and Characterization of Nanoparticles Propolis Using Beeswax](#), *Iranian Journal of Chemistry and Chemical Engineering (IJCCE)*, **38(2)**: 9-19 (2019).

- [16] Alaei M, Mahjoub AR, Rashidi A, Preparation of Different WO₃ Nanostructures and Comparison of their Ability for Congo Red Photo Degradation, *Iranian Journal of Chemistry and Chemical Engineering (IJCCE)*, **31(1)**: 31–36 (2012).
- [17] Zare-Mehrjardi H.R., Electrochemical Sensing of Dopamine in the Presence of Ascorbic Acid Using Carbon Paste Electrode Modified with Molybdenum Schiff Base Complex/1-Butyl-3-Methylimidazolium Tetrafluoroborate, *Iranian Chemical Communication (ICC)*, **6**: 56–70 (2018).
- [۱۸] قلی زاده، اعظم؛ شاهرخیان، سعید؛ ایرجی زاد، اعظم؛ مهاجرزاده، شمس الدین؛ وثوقی، منوچهر؛ اندازه‌گیری گلوتامات با استفاده از حسگر زیستی بر پایه نانولوله های کربنی عمودی، نشریه شیمی و مهندسی شیمی ایران، **۳۲(۴)** : ۳۳ تا ۳۶ (۱۳۹۲).
- [۱۹] رازقی زاده، علی رضا؛ الهام الهی، الهام؛ رفیعی، وحدت؛ بررسی پرتو جذب UV-Vis لایه‌های نانوساختار رنگ تهیه شده با TiO₂ با استفاده از رنگ‌دانه‌های سیانیدین توت‌سیاه به‌روش سل - ژل، نشریه شیمی و مهندسی شیمی ایران، **۳۵(۲)** : ۱ تا ۸ (۱۳۹۵).
- [20] Mohammadi S.Z., Seyedi A., Preconcentration of Cadmium and Copper Ions on Magnetic Core–Shell Nanoparticles for Determination by Flame Atomic Absorption, *Toxicological and Environmental Chemistry*, **98**: 705–713 (2016).
- [21] Bard A.J., Faulkner L.R., “*Electrochemical Methods Fundamentals and Applications*”, 2nd ed., John Wiley & Sons, Inc., New York (2000).
- [22] Beitollahi H., Mohadesi A., Mohammadi S., Pahlavan A., Karimi-Maleh H., Akbari A., New Voltammetric Strategy for Determination of Dopamine in the Presence of High Concentrations of Acetaminophen, Folic Acid and N-Acetylcysteine, *Journal of Molecular Liquids*, **169**: 130–135 (2012).
- [23] Kalimuthu P., Abraham John S., Simultaneous Determination of Ascorbic Acid, Dopamine, Uric Acid and Xanthine Using a Nanostructured Polymer Film Modified Electrode, *Talanta*, **80**: 1686–1691 (2010).
- [24] Mohammadzadeh N., Mohammadi S.Z., Kaykhai M., Carbon Paste Electrode Modified with ZrO₂ Nanoparticles and Ionic Liquid for Sensing of Dopamine in the Presence of Uric Acid, *Journal of Analytical Chemistry*, **73**: 685–694 (2018).